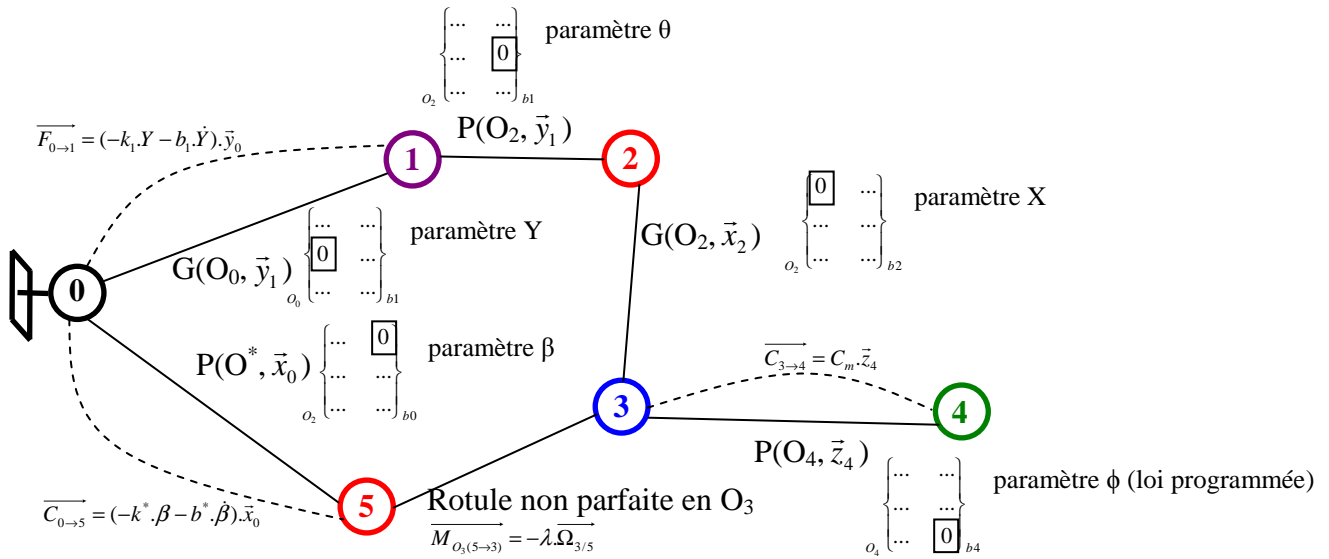


Vibreur d'olivier – Corrigé

Q.1. Graphe d'analyse

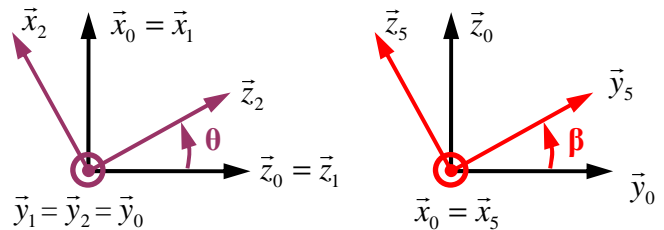


Q.2. Fermeture géométrique : $\overrightarrow{O_0O^*} + \overrightarrow{O^*O_5} = \overrightarrow{O_0O_5}$

$$\rightarrow \overrightarrow{O_0O^*} + \overrightarrow{O^*O_5} = \overrightarrow{O_0O_1} + \overrightarrow{O_1O_2} + \overrightarrow{O_2G_3} + \overrightarrow{G_3O_5} \rightarrow d_0 \cdot \vec{x}_0 + l_5 \cdot \vec{z}_5 = Y \cdot \vec{y}_1 + l_1 \cdot \vec{x}_1 + X \cdot \vec{x}_2 + l_3 \cdot \vec{x}_2$$

En projection dans la base 0 :

$$\begin{cases} d_0 = l_1 + (X + l_3) \cdot \cos \theta \\ -l_5 \cdot \sin \beta = Y \\ l_5 \cdot \cos \beta = -(X + l_3) \cdot \sin \theta \end{cases}$$



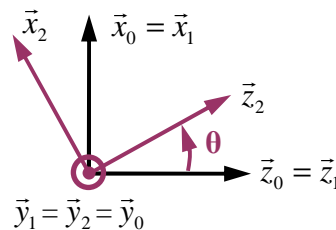
Q.3. Hypothèse θ et β petits $\rightarrow \begin{cases} d_0 = l_1 + (X + l_3) \\ -l_5 \cdot \beta = Y \\ l_5 = -(X + l_3) \cdot \theta \end{cases}$

$$\text{Soit } Y = -l_5 \cdot \beta \quad ; \quad X = d_0 - l_1 - l_3 = cte \quad ; \quad \theta = -\frac{l_5}{X + l_3} = cte$$

Q.4. On a liaison 5/3 : liaison rotule non parfaite \rightarrow 3 composantes X_{53} , Y_{53} et Z_{53} + une loi de comportement : $\overrightarrow{M}_{O_3(5 \rightarrow 3)} = -\lambda \cdot \overrightarrow{\Omega}_{3/5} = \lambda \cdot \overrightarrow{\Omega}_{5/3}$ avec $\overrightarrow{\Omega}_{5/3} = \overrightarrow{\Omega}_{5/0} - \overrightarrow{\Omega}_{0/3} = \dot{\beta} \cdot \vec{x}_0$

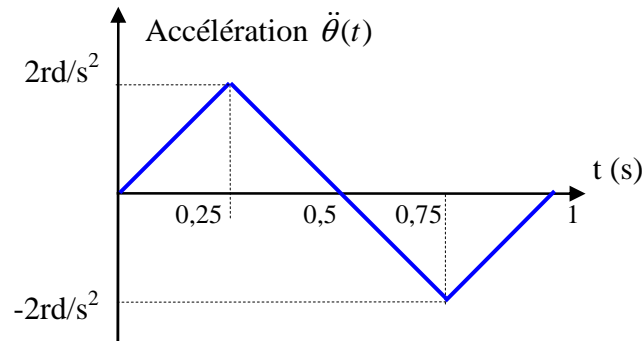
$$\text{Soit } \overrightarrow{M}_{O_3(5 \rightarrow 3)} = \lambda \cdot \dot{\beta} \cdot \vec{x}_0 = \lambda \cdot (\sin \theta \cdot \vec{z}_2 + \cos \theta \cdot \vec{x}_2)$$

$$\rightarrow \{F_{5 \rightarrow 3}\} = \begin{Bmatrix} X_{53} & \lambda \cdot \dot{\beta} \cdot \cos \theta \\ Y_{53} & 0 \\ Z_{53} & \lambda \cdot \dot{\beta} \cdot \sin \theta \end{Bmatrix}_{(b2)}$$

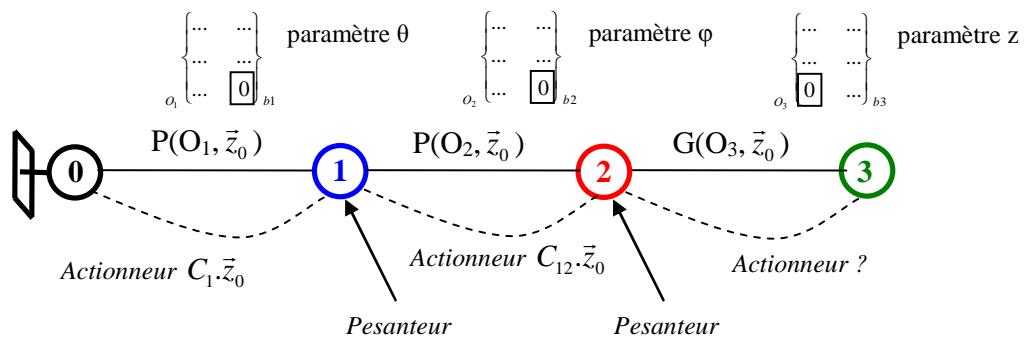


Bras de robot à muscles artificiels – Corrigé

Q.1.



Q.2.



Q.3. $\overrightarrow{O_1O_3} = \overrightarrow{O_1O_2} + \overrightarrow{O_2O_3} \rightarrow \overrightarrow{O_1O_3} = L.\vec{x}_1 + L.\vec{x}_2 + z.\vec{z}_0$

On projette les axes dans la base dans laquelle on exprime les coordonnées x_0 , y_0 et z_0 :

$\rightarrow \overrightarrow{O_1O_3} = L.\vec{x}_1 + L.\vec{x}_2 + z.\vec{z}_0$ avec $\vec{x}_1 = \cos\theta.\vec{x}_0 + \sin\theta.\vec{y}_0$ et $\vec{x}_2 = \cos(\theta + \varphi).\vec{x}_0 + \sin(\theta + \varphi).\vec{y}_0$

$\rightarrow \overrightarrow{O_1O_3} = (L.\cos\theta + L.\cos(\theta + \varphi)).\vec{x}_0 + (L.\sin\theta + L.\sin(\theta + \varphi)).\vec{y}_0 + z.\vec{z}_0$

Ce qui permet d'écrire le modèle géométrique direct :
$$\begin{cases} x_0 = L.\cos\theta + L.\cos(\theta + \varphi) \\ y_0 = L.\sin\theta + L.\sin(\theta + \varphi) \\ z_0 = z \end{cases}$$

Q.4. Il faut inverser le modèle géométrique direct :
$$\begin{cases} x_0 = L.\cos\theta + L.\cos(\theta + \varphi) \\ y_0 = L.\sin\theta + L.\sin(\theta + \varphi) \\ z_0 = z \end{cases}$$

Une solution possible consiste à utiliser les transformations trigonométriques de sommes en produits (formules de Simpson : $\cos a + \cos b = 2.\cos\frac{a+b}{2}.\cos\frac{a-b}{2}$ et $\sin a + \sin b = 2.\sin\frac{a+b}{2}.\cos\frac{a-b}{2}$) qui permettent de transformer le modèle géométrique direct :

$$\begin{cases} x_0 = L.\cos\theta + L.\cos(\theta + \varphi) \\ y_0 = L.\sin\theta + L.\sin(\theta + \varphi) \end{cases} \rightarrow \begin{cases} x_0 = 2.L.\cos\frac{2\theta + \varphi}{2}.\cos\frac{-\varphi}{2} \\ y_0 = 2.L.\sin\frac{2\theta + \varphi}{2}.\cos\frac{-\varphi}{2} \end{cases}$$

En faisant $x_0^2 + y_0^2$ pour faire apparaître un terme en $\cos^2 A + \sin^2 B$, on obtient :

$$x_0^2 + y_0^2 = 4.L^2.\cos^2\frac{-\varphi}{2} \left(\cos^2\frac{2.\theta + \varphi}{2} + \sin^2\frac{2.\theta + \varphi}{2} \right) = 4.L^2.\cos^2\frac{-\varphi}{2} \rightarrow \cos\frac{-\varphi}{2} = \frac{\sqrt{x_0^2 + y_0^2}}{2.L}$$

En faisant $\frac{y_0}{x_0}$, on a : $\frac{y_0}{x_0} = \tan\frac{2.\theta + \varphi}{2} \rightarrow$ ce qui permet d'obtenir : $\theta = -\frac{\varphi}{2} + \arctan\frac{y_0}{x_0}$

Ce qui permet d'écrire le modèle géométrique indirect :

$$\begin{cases} \theta = -\frac{\varphi}{2} + \arctan\frac{y_0}{x_0} \\ \varphi = -2.\arccos\frac{\sqrt{x_0^2 + y_0^2}}{2.L} \\ z = z_0 \end{cases}$$

Q.5. Trajectoire rectiligne suivant l'axe (O_1, \vec{x}_0)

Le modèle géométrique indirect devient :

$$\begin{cases} \theta = -\frac{\varphi}{2} \\ \varphi = -2.\arccos\frac{x_0}{2.L} \\ z = z_0 \end{cases}$$

Sur le schéma on voit bien que $\cos\theta = \frac{x_0}{2.L}$ et

$$\text{que } \theta = -\frac{\varphi}{2}$$

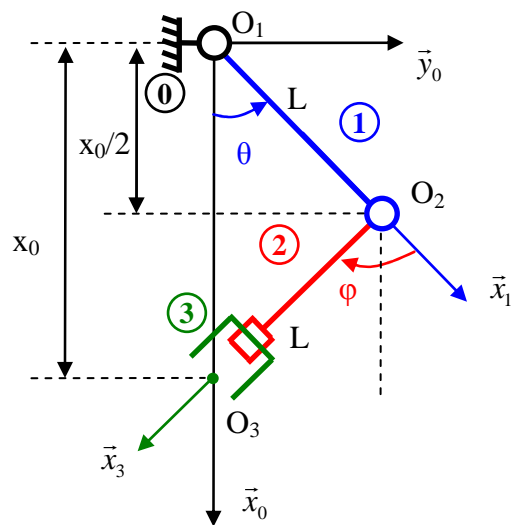
Course des moteurs : $L < O_1O_3 < 1,5.L \rightarrow L < x_0 < 1,5.L$

Pour $x_0 = L \rightarrow \varphi = -2.\arccos\frac{1}{2} = -\frac{2.\pi}{3} \rightarrow \theta = -\frac{\varphi}{2} = \frac{\pi}{3}$

Pour $x_0 = 1,5.L \rightarrow \varphi = -2.\arccos\frac{3}{4} \approx -82^\circ \rightarrow \theta = -\frac{\varphi}{2} \approx 41^\circ$

Ce qui est conforme aux débattements admissibles du C.d.C.F. pour cette phase de vie : $0 < \theta \leq \frac{\pi}{2}$ et

$$-\frac{2.\pi}{3} < \varphi \leq \frac{\pi}{2}.$$



$$\text{Q.6. } \begin{cases} \theta = -\frac{\varphi}{2} \\ \cos\frac{-\varphi}{2} = \cos\frac{x_0}{2.L} \\ z = z_0 \end{cases} \rightarrow \begin{cases} \dot{\theta} = -\frac{\dot{\varphi}}{2} \\ \frac{\dot{\varphi}}{2} \sin\frac{-\varphi}{2} = \frac{\dot{x}_0}{2.L} \\ \dot{z} = \dot{z}_0 \end{cases}$$

Q.7. Pour $t = 0,75 \text{ s}$ on a $\dot{x}_0 = 0,25 \text{ m.s}^{-1}$, $x_0 = 0,729 \text{ m}$, $\dot{\theta} = -0,365 \text{ rd.s}^{-1}$ et $\theta = 0,754 \text{ rd}$.

$\frac{\dot{\varphi}}{2} \sin\frac{-\varphi}{2} = \frac{\dot{x}_0}{2.L} \rightarrow -\dot{\theta} \sin\theta = \frac{\dot{x}_0}{2.L}$ A.N. : $0,365.\sin 0,745 = 0,25$ et $\frac{\dot{x}_0}{2.L} = \frac{0,25}{2 \times 0,5} = 0,25 \rightarrow$ l'égalité est bien respectée.